Universidad Nacional Autónoma de México FACULTAD DE CIENCIAS

COMPARACION DE DOS ECUACIONES DE ESTADO PARA NaCI A ALTAS PRESIONES

TESISENTA

CARLOS BRAULIO MANUEL RODRIGUEZ CASTAÑEDA

MEXICO, D. F.

1982





UNAM – Dirección General de Bibliotecas Tesis Digitales Restricciones de uso

DERECHOS RESERVADOS © PROHIBIDA SU REPRODUCCIÓN TOTAL O PARCIAL

Todo el material contenido en esta tesis esta protegido por la Ley Federal del Derecho de Autor (LFDA) de los Estados Unidos Mexicanos (México).

El uso de imágenes, fragmentos de videos, y demás material que sea objeto de protección de los derechos de autor, será exclusivamente para fines educativos e informativos y deberá citar la fuente donde la obtuvo mencionando el autor o autores. Cualquier uso distinto como el lucro, reproducción, edición o modificación, será perseguido y sancionado por el respectivo titular de los Derechos de Autor.

INTRODUCCION

El propósite de esta tesis es En ebtención de una ecuación de estade para el MaCl a altas presiones haciendo use del fermalismo de variables reducidas y comparar los resultados predichos por esta cousción con les obtenides para el mismo material de la integración munérica de una ecuación diferencial. Unes y otros datos teórices se comparan con datos experimentales con les cuales se realisa unendicio estadístico.

In el primer capítule se obtienen las ecuaciones de conservación de la masa, del impeta y de la energía en un fluido, en presencia de discentimidades que se presentan en el medio cuando este se encuentra semetide a altas presiones.

en les variables que aparecen en la ecuación que describe termodinámicamente al sistema sometido a una onda de choque. Para llevar a --- ente este se signam las ideas desarrolladas por Prieto .

des puede ser extendido a la relación de las variables presión, volumen, temperatura con el objeto de obtener una ecuación de estado que describa termodinámicamente al sistema sometido a uma onda de cheque.

Esta ecuación de estado fue primeramente obtenida por Prieto y Remero.

El espítule IV se dedica a la obtención de uma expresión diferencial para la temperatura a lo largo de la curva conocida como Hugoniot.

El espítule Y se dedica a la comparación de resultados. Por un lado se tiemen resultados teóricos considerando una relación cuadrática — enten las velecidades de choque y de partícula y por otro lado se — tiemen les predichos por la ecuación de estado de Prieto-Renero. En este mismo capítule se comparan con los resultados mencionados anterés mismo capítule se comparan con los resultados mencionados anterés mismo capítule se comparan con los resultados mencionados anterés mismo capítule se comparan con los resultados mencionados anterés mismo capítule se comparan con los resultados mencionados anterés mismo capítule se comparan con los resultados mencionados anterés mismo capítule se comparan con los resultados mencionados anterés mismo capítule se comparan con los resultados mencionados anteres mismo capítule se comparan con los resultados mencionados anteres mismo capítule se comparan con los resultados mencionados anteres mismo capítule se comparan con los resultados mencionados anteres mismo capítule se comparan con los resultados mencionados anteres mismo capítule se comparan con los resultados mencionados anteres mismo capítule se comparan con los resultados mencionados anteres mismo capítules experimentales obtenidos por Bridgman y Péres-Albuer-

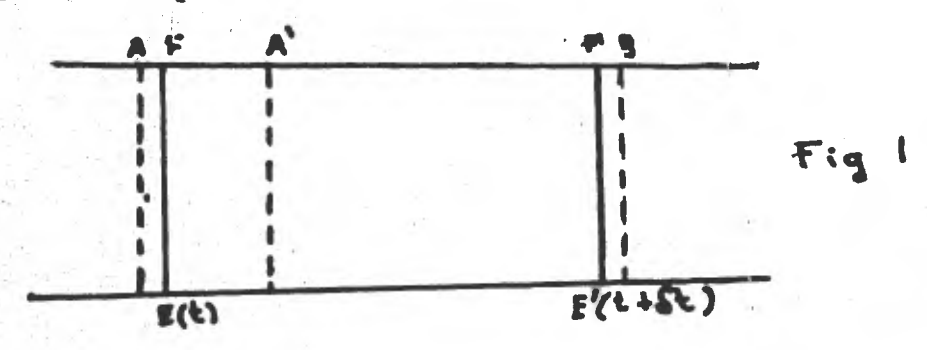
ECUACIONES DE RANKINE-HUGONIOT

Se puede demostrar que cuando perturbaciones de amplitud finita se propagan en un fluido pueden ocurrir discontinuidades en la veloci dad, presión y en otras propiedades del medio. Estas discontinuida des son llamadas ondas de choque o choques y definen una región de transición entre dos estados del medio con propiedades mecánicas y termodinâmicas uniformes pero diferentes entre sí. Estas ondas de choque son descritas por súbitas discontinuidades las cuales ocurren a través de ciertas superficies claramente definidas en el fluido, tal que algunas de las cantidades mencionadas anteriormente tienen gradientes infinitos en la superficie. Se requiere que las leyes para la conservación de la masa, el impetu y la energia sean válidas para estos procesos y en este capítulo se obtendrán las ecuaciones de conservación en presencia de las discontinuidades mencionadas. Para esto es importante suponer que el material bajo observación se comporta de manera hidrodinâmica. Las ecuaciones de conservación para materiales sometidos a choque se conocen como las ecuaciones de Rankine-Hugoniot.

Se supone una onda de choque que se mueve a una velocidad Ug, separando un estado inicial no perturbado, definido por una presión
Po y una densidad C del estado final definido por una presión P
y una densidad C, así como por la velocidad Up del material directa
mente detrás del frente de onda.

Considérese una muestra de material de sección transversal unitaria en el cual se propaga una onda plana con velocidad $U_{\underline{a}}$ (fig. 1).

En la fig. 1, E y E' representan las posiciones del frente de onda en los instantes t y t +8t. El plano A está por detrás del frente de choque EF pero infinitamente cercano a él y B está por delante del plano E'FF pero también infinitamente cercano a ál.



La distancia EE' está entonces dada por

En el instante t el frente de onda acaba de pasar por A y por tanto el elemento de masa contenido en el segmento AB tiene practicamente la densidad (y por tanto la masa comprendida en el segmento AB PAB-1=PU. St ---- (*) es tal que:

Debido a la diferencia de presión la materia adquiere una velocidad U. En el instante t + el plano A se encuentra en A' (ver fig.1) de suerte que el segmento AA' será iqual a

La materia contenida inicialmente en el segmento AB se encuentra comprimida entre A' y B. Por lo tanto por la conservación de la masa tendremos:

Sustituyendo las ec. (2), (3) y (5) en (4) se tiene

Pous
$$t = P(AB - AA) - - - - (6)$$

Pous $t = P(U_0 St - U_0 St) - - - - (7)$

que expresa la ley de conservación de la masa y es la primera - ecuación de Rankie-Hugoniot.

Ahora se verá la conservación del impetu. La segunda ley de Newton

Dado que F es impulsiva, y recordando que el problema es unidimensional (P-Pa) St = ~ &v ---- (10)

por otra parte la masa está expresada por

sustituyendo esta última ecuación en (10)

Pero Sy es el incremento de la velocidad Up . Entonces la ecuación (12) se puede escribir

Esta ultima expresión es la segunda ecuación de Rankine-Hugoniot.

Ahora se verá la deducción de la ecuación para la conservación de la energia. Se hará para ello tres consideraciones:

le.- Existe un cambio en la energia interna del sistema, el cual es expresado por:

2º .- La energia cinética por unidad de masa está dada por la

3% - El trabajo efectuado por la presión será el siguiente:

De el principio de la conservación de la energía se tiene:

Recordando ahora que:

Se obtiene la siguiente expresión

Se obtiene la siguiente expression
$$\begin{bmatrix}
E - E_o + \frac{1}{2} U_p^2
\end{bmatrix} P_o U_s St = P U_p St --- (19)$$
Asi la tercera ecuación de Rankine-Hugoniot está dada por

La obtención de estas ecuaciones de conservación se ha hecho en una dimensión, lo cual es un caso particular del más general que es en tres dimensiones.

LA HUGONIOT

El propósito de este capítulo es discutir algunas consecuencias de llevar a cabo una transformación de semejanza en las variables que aparecen en la ecuación que describe termodinámicamente al - sistema sometido a la onda de choque. En lo general se siguen las ideas desarrolladas por F.E. Prieto $^{(4)}$. Como ecuaciones básicas tomaremos las obtenidas para la conservación de la masa y el impetu en el capítulo I, suponiendo además que la velocidad de choque $\mathbf{U}_{\mathbf{S}}$ puede ser expresada como una función lineal de la velocidad de - partícula $\mathbf{U}_{\mathbf{B}}$.

Un conjunto adecuado de transformaciones o parámetros de reducción debe ser escogido. Estos parámetros deben ser utilizados para de<u>fi</u> nir un conjunto de variables reducidas adimensionales. Expresaremos la ecuación básica para la Hugoniot o lugar geométrico de los puntos (p,v) a los cuales puede pasar un material sometido a una onda de choque, en una forma que únicamente aparecen números puros y variables reducidas. Esto nos hace pensar en la posible existencia de una ley de estados correspondientes para materiales sometidos a ondas de choque.

Si se toma C para la densidad a la presión de Hugoniot con valor cero y P para la densidad a una presión P, la compresión relativa Z estará definida por la siguiente expresión:

Se tomará Po=0 en la ecuación (13) del capítulo I, ya que general mente la presión inicial Po es igual a la presión atmosférica, — despreciable con respecto a la presión P. Así la ecuación (13) del capítulo I queda: $P=P_{\nu}U_{\nu}U_{\nu}$ ————— (2)

y de la ecuación (8) de ese mismo capítulo I,Z se puede escribir:

Z-U-----(3)

Si como ya mencionamos al principio de este capítulo, el material
se comporta en forma lineal, U se puede expresar como

Se puede eliminar las velocidades de las tres últimas ecuaciones llegando a la siguiente expresión

P= Po A2E (1-82) ---- (5)

La cual puede ser llamada la ecuación básica para la Hugoniot de Choque $^{(4)}$. Se puede ahora comparar las Hugoniots básicas para dos materiales diferentes, las que quedarían expresadas por las siguien $P_i = P_0$, $A^2 Z_1 \left(1 - B_1 Z_1 \right)^2 - --- (6)$ tes ecuaciones

P= (0 A = 22(1-8 = 22) ---- (7)

Ahora se definen unos factores de escala representados por la literal K_Q , tales que se pueda expresar a todas las variables y -parâmetros de la siguiente manera $Q = K_Q Q, \qquad Q = P, F, C, A, B ---(B)$

Lo cual debe ser válido para cada una de las cantidades que aparecen en la Hugoniot básica. El problema se reduce ahora a encontrar las condiciones para la existencia de tales factores de escala. Por - sustitución de las ecuaciones (8) en (7) y en (6) se encuentra que

si dos materiales tienen Hugoniots de choque similares, las con<u>di</u> ciones siguientes se deben cumplir:

KBK2 = 1 ---- (9) Kp = to KAK ---- (10)

Estas condiciones pueden ser expresadas usando la ecuación (8) lo cual nos lleva a las siguientes ecuaciones: $B_2 Z_2 = B_1 Z_1 - - - - - (11)$

$$P_{k_{2}}^{2} = P_{k_{1}}^{2} - - - - (12)$$

donde el parámetro Pc queda definido por
$$P_{c} = \frac{A^{2}}{B} - - - - (13)$$

este parâmetro tiene dimensiones de presión y es llamado "presión caracteristica" del material. Las ecuaciones (11) y (12) sugieren una correlación de estados correspondientes que F.E. PRIETO (4) __ enuncia de la siguiente manera:

"Dos estados de compresión por choque para diferentes materiales, se dice que son estados correspondientes, si sus compre siones relativas y sus presiones están respectivamente en las ra- $\frac{Z_2}{Z_1} = \frac{B_1}{B_2}$; $\frac{P_2}{P_1} = \frac{P_2}{P_2} =$ zones:

Cabe aqui mencionar que el parámetro B es el coeficiente de la velocidad Um en la scuación (4) y es adimensional.

De las ecuaciones (14) se sugiere la introducción de las siguientes

variables adimensionales o variables reducidas
$$\chi = B^2 \qquad -p = P_P ---- (15)$$

que representan la compresión y la presión reducidas respectivamente. Cuando se expresa la Hugoniot en términos de estas variables reducidas, se obtiene la siguiente expresión

En donde solo figuran números puros y variables reducidas. Una consecuencia inmediata de las ecuaciones (11), (12) y (15) es que los estados correspondientes de compresión para diferentes materiales están representados por un mismo punto en el plano (p,x). Esto implica que en este plano las Hugoniots reducidas de todos los materiales que se comportan en forma lineal coinciden en una sola curva.

EGUACION PRIETO-RENERO

Se puede ahora mostrar que el formaliemo de variables reducidas puede ser extendido a la relación de las variables presión-volumentemperatura para puntos cercanos a la curva Hugoniot. En particular se pueden obtener, como lo han demostrado Prieto y Renero, expresiones tanto para la temperatura a lo largo de la Hugoniot como para la ecuación de estado del material. Delineamos a continuación el procedimiento seguido por Prieto y Renero.

Se va a definir una sere de parámetros siendo el primero de ellos el parámetro "n" el cual se define como sigue (5):

$$\gamma = \frac{1}{C_{\text{opt}}} - - - - - (1)$$

donde Cyr es el calor específico reducido a volumen constante, el cual está expresado por:

donde B y A son los parametros que aparecen en la relación lineal entre las velocidades Ug y Up. Asi mismo, o es el coeficiente de expansión volumétrica definido por:

También se define el parámetro "r" mediante:

Se define la temperatura reducida "t" por:

donde \propto y B ya han sido definidos y "T" es la temperatura absoluta. Se va ahora a definir un nuevo parámetro, "m" el cual queda definido como el producto de "n" y "r" $^{(5)}$:

donde solamente dos de los tres parámetros mencionados son independientes.

Ahora se hará uso de la primera ecuación TdS de la termodinámica

que se transforma, después de reducida en:

En la ecuación (8) "s" representa la entropía específica reducida por energía y temperatura. Se combinará esta ecuación con la expresión para la conservación de la energía de Rankine-Hugoniot, la - cual se puede expresar:

$$E-E_0=\frac{1}{2}(p+p)(v_0-v)----19)$$

en forma reducida queda

Q-Q0 =
$$\frac{1}{2}$$
 (p+R) X - ---- (10)

si se toma = o se obtiene:

Ahora escribiendo la Segunda Ley de la Termodinámica:

que en variables reducidas es:

Despejando tos de la ecuación (13) e igualando con la ecuación (8)

 $\frac{1}{2}dt - rtdx = d(a-a_0) - pdx - - - - (4)$

Sustituyendo en (14) la ecuación (11):

#dt-+tdx=d(/2pdx)-pdx----(15)

quedendo después de simplificar:
$$\frac{1}{2} \frac{dt}{dx} - rt = \frac{1}{2} \frac{dR}{dx} - \frac{1}{2} \frac{dR}{dx} - \frac{1}{2} \frac{dR}{dx}$$

En esta última ecuación / es la presión de Hugoniot,

La ecuación (16) válida a lo largo de la Hugoniot puede ser escrita en otra forma muy util, sustituyendo en ella la R de la ec. (16) del capitulo II y la "m" de la ec. (6) del presente capitulo:

$$-P_{h} = \times (1-\times)^{-2} - - - - (17)$$

m = (BK+ (v) --- (10)

donde Kres la compresibilidad isotérmica reducida Kr= \\ \frac{\pi \rho A^2}{-} Ahora la ecuación (16) toma la forma:

 $\frac{dt}{dx} - mt = \frac{m x^2}{n - x^3} - - - - (19)$

Esta es una ecuación diferencial que puede ser integrada a lo largo de la Hugoniot desde un estado inicial (x=0, p=0, t=to) a un estado arbitrario (x, p, t,), cuya solución completa sometida a estas condiciones es: (5)

th=to am x namn fxyz = m/2--(20)

La ecuación (20) representa a la temperatura to como una función de la compresión reducida "x".

Esta última expresión puede ser integrada analíticamente (5) usando métodos de integración conocidos, de manera que podemos obtener la temperatura como una función explicita de la compresión reducida "x", y en consecuencia podemos obtener una ecuación de estado en

(5)
forma reducida. La integración puede ser llevada a cabo haciendo un cambio de variable y=mY y haciendo uso de la siguiente identidad:

Las integrales provenientes del primero y segundo términos de esta identidad pueden ser integradas por partes y transformadas en integrales del tipo resultante del tercer término, las cuales pueden ser evaluadas en términos de funciones conocidas. Este pro cedimiento nos lleva a los siguientes resultados obtenidos por -

2 (Eh-Fo emx) = f(m,x)-(4m-m2-2) @ Ei (mx) ag F.E. Prieto, C. Renero: (5)

donde f(m.x) tiene la forma:

f (m, x) = (3-m) a + (1-x) + (m-4) (1-x) --- (23) $E_{\mathcal{E}}(m,x)=E_{\mathcal{E}}(m)-E_{\mathcal{E}}\left[2\sigma(l-x)\right]-----(24)$

La función $E_4(y)$ es la integral exponencial de argumento negativo definida por (5):

E. (4) = - 5 2 dz

El interés principal de la ecuación (22) proviene del hecho de que nos lleva a una forma explicita para la ecuación de estado (5) Esando la siguiente relación termodinámica:

(AP)== (At)= --- (26)

la cual nos indica para un valor dado de "x" la diferencia de pre sión en algún punto a lo largo de la Hugoniot y en algún otro pun to en su vecindad. Esta diferencia de presión puede ser expresada como una función de la diferencia de temperaturas entre los mismos puntos

$$-p(x) - p(x) = -[t_h(x) - t(x)] - - - (27)$$

en la cual el parametro "r" está definido por la expresión (4) y se supone que es constante.

Sustituyendo las expresiones (17) y (22) en (27) se obtiene la ecuación de estado de Prieto y Renero (5):

-p(z,t) =
$$F(m,x) + G(m,x) + rt - rt_0 e^{m x}$$
 --- (ze)

donde
$$2F(m,x) = \frac{2-m}{(l-x)^2} - \frac{2+m(m-4)}{l-x} - \frac{m(s-m)(l-m)}{l-x}$$

$$2F(m,x) = m(4m-m-2)(l-m)$$

$$E(m,x) = ---(80)$$

 $26(m_X) = m(4m-m^2z)C$ E(m,x) = ---la ecuación (28) es una expresión explicita en términos de las variables p,x,t que puede considerarse como una ecuación de --

estado expresada en variables reducidas.

Ahora bién, de la ecuación (28) se puede obtener una isotérmica a 293°K para valores fijos de "m" y "r". Cabe aqui hacer un -paréntesis para justificar los valores de los parámetros "m" y "r".

Para expresar cualquier cantidad termodinámica en forma reducida (dentro del contexto del presente formalismo), se necesitan cuatro parámetros, los llamados parámetros de choque (, A,B) y el -coeficiente de expansión volumétrica (, Al calcular las -temperaturas de Hugoniot o al usar la ecuación de estado se necesitan dos de los tres parámetros (m,n,r). Estos seis parámetros en principio son suficientes para hacer una descripción termodinámica completa de los materiales lineales.

La ecuación (28) es válida en general para cualquier material. Ahora bién, al considerar los valores numéricos de los parámetros m,r, para muchos materiales en estado sólido se encuentra que tienden a acumularse alrededor de las medias aritméticas siguien m=1.402 r=0.977

Estas medias aritméticas son bastante representativas ya que las desviaciones estandar calculada respecto a ellas no son grandes. Se propone trabajar (5) con m=4/3 y r=1 ya que estos valores reproducen bien el comportamiento termodinámico de muchos materiales. Esto reduce el número de parámetros independientes, necesitándose solo cuatro parámetros de cada material para describir su compor tamiento termodinámico.

Entonces la ecuación (28) toma la forma: $P(3t) = F(4/3)x) + G(4/3)x) + t - t_0 (2 - - - (61))$

donde "x" es la compresión reducida. La "t" que aparece en la ecuación (31) está definida a través de la ecuación (5). La expre
sión para "to" será

donde To es la temperatura absoluta en el estado inicial de compresión por choque.

PARA LA TEMPERATURA

La ecuación de Prieto-Renero⁽⁵⁾, que es la ecuación (28) del — capítulo III ha sido obtenida suponiendo una relación lineal entre las velocidades U_8 y U_p (ec.4 cap.II). Sin embargo algunos investigadores en el campo han preferido usar una relación del tipo⁽³⁾: $U_6 = A + BU_0 - CU_p^2 - - - - - (1)$

para reproducir los datos experimentales de las velocidades. Se propone entonces comparar ahora tanto entre sí como con datos experimentales los resultados predichos utilizando una y otra relación. Se escogió para llevar a cabo dicha comparación la isotérmica a 293°K del NaCl de la ecuación de Prieto-Renero la cual se compara con datos experimentales así como con datos obtenidos por Fritz, Marsh, et al⁽³⁾ en base a una relación cuadrática — entre las velocidades.

Recordamos que con el formalismo desarrollado por Prieto-Renero (5) se obtiene una expresión cerrada para la temperatura a lo largo de la Hugoniot, (ec.22 cap.III) permitiendo así por un lado la obtención de una ecuación de estado completa (ec.28 cap. III) y por otro lado evitando la necesidad de una integración numérica para obtener la temperatura. Fritz, et al (3), por el contrario obtienen sus resultados de la integración numérica de la ecuación:

donde el subindice H se refiere a cantidades a lo largo de la Hugoniot. El resto del capítulo muestra detalladamente el desarrollo
matemático que permite establecer la ecuación (2).

Partiendo de la ecuación fundamental de la termodinámica:

donde si consideramos a T y a V como variables independientes,

tendremos

$$U=U(T,V)$$
 ---- (4)
 $S=S(T,V)$ ---- (5)

differenciando tendremos $du = (\frac{2}{2})dT + (\frac{2}{2})dV - - - (6)$

sustituyendo (6) y (7) en la

T[
$$\frac{\partial S}{\partial T}$$
] $dT + \left(\frac{\partial S}{\partial V}\right) dV = \left(\frac{\partial U}{\partial T}\right) dT + \left(\frac{\partial U}{\partial V}\right) dV + PdV - - (S)$

ambiendo de signo
$$\begin{bmatrix} \frac{\partial U}{\partial \tau} - T \begin{pmatrix} \frac{\partial S}{\partial \tau} \end{pmatrix} \end{bmatrix} d\tau = - \begin{bmatrix} T \begin{pmatrix} \frac{\partial S}{\partial v} \end{pmatrix}_{\tau} + \begin{pmatrix} \frac{\partial U}{\partial v} \end{pmatrix} + P \end{bmatrix} dv --- (10)$$

$$\left(\frac{\partial U}{\partial T}\right)_{V} = T \left(\frac{\partial S}{\partial T}\right)_{V} = C_{V} - - - - - (11)$$

$$\left(\frac{\partial S}{\partial T}\right) = \frac{CV}{T} - - - - (12)$$

Ahora para un proceso donte T=cte, tenemos de la ecuación (10)

$$T(\frac{\partial S}{\partial v})_{T} = \left(P + \left(\frac{\partial U}{\partial v}\right)_{T}\right) - - - (13)$$

$$\frac{2^{2}S}{\partial t \partial v} = \frac{1}{T} \left(\frac{\partial Cv}{\partial v} \right)_{T} = -\frac{1}{T} \left(\frac{\partial^{2}U}{\partial t \partial v} \right) - - - (15)$$

$$\frac{\partial^{2}s}{\partial v \partial T} = -\frac{1}{T^{2}} \left[P + \left(\frac{\partial U}{\partial v} \right)_{T} \right] + \frac{1}{T} \left[\frac{\partial^{2}V}{\partial v^{2}} + \left(\frac{\partial P}{\partial T} \right) \right] - - - (16)$$

iqualando (15) y (16), obtendremos

$$\frac{1}{7}\frac{\partial^2 U}{\partial T\partial V} = -\frac{1}{7^2}\left[P + \left(\frac{\partial U}{\partial V}\right)\right] + \frac{1}{7}\left[\frac{\partial^2 U}{\partial V} + \left(\frac{\partial P}{\partial T}\right)\right] - - (17)$$

y simplificando obtendremos la siguiente expresión

$$\left(\frac{\partial U}{\partial V}\right)_{T} = T\left(\frac{\partial P}{\partial T}\right)_{V} - P - - - - (/8)$$

de la ecuación (13) por comparación de términos con la ecuación (18)

$$\left(\frac{\partial S}{\partial V}\right)_{T} = \left(\frac{\partial P}{\partial T}\right)_{V} - - - - - (19)$$

pero considerando el coeficiente de expansión volumétrica $\beta = \sqrt{\frac{2V}{2T}}$ y la compresibilidad isotérmica $\beta = \sqrt{\frac{2V}{2T}}$ tenemos

sustituyendo (12) y (19) en (7) obtendremos

por otra parte el coeficiente de Gruneisen se puede escribir

$$\mathcal{E}=V\left(\frac{\partial P}{\partial T}\right)=\frac{V}{C_V}\left(\frac{\partial P}{\partial T}\right)_V\cdot\left(\frac{\partial P}{\partial T}\right)_V=\frac{V(V)}{V}$$

sustituyendo en la ecuación (21) nos queda

por otra parte considerando la ecuación de la conservación de

la energia de Rankine-Hugoniot

diferenciando y multiplicando por dos, tendremos

ahora de la ecuación fundamental de la termodinámica, también multiplicada por dos, se obtiene

2 TH dSH = 2 PH dV - B dV - PH dV + (Vo-V) dPH --- (87)

simplificando obtenemos $2T_{ii}dS_{ii}=(V_{i}-V)dP_{ii}+(P_{ii}-P_{ii})dV_{ii}---$ (28)

ahora de la ecuación (23) nos queda 2 Tas = 2 CydT + 2TY Cydy ----- (29)

utilizando esta última expresión conjuntamente con la ecuación (28)

2 CydTu + 2TH 8CV dv= (V6-V)dR+(R-P)dv-- (2)

Y a pertir de esta última expresión podremos llegar a la si-

guiente ecuación $dT_N = -\frac{T_H}{V} \frac{\partial}{\partial V} + \frac{(V_0 - V)}{V} \frac{\partial}{\partial R} + (P_N - P_0) \frac{\partial}{\partial V}$

y si ahora en esta última ecuación tomamos Po=0, llegamos a la expresión diferencial para la temperatura a lo largo de la --

Hugoniot $dT_{\mu} = -\frac{T_{\mu}}{v} dv + \frac{(v_{\nu} - v) dR_{\nu} + R_{\nu} dv}{9C_{\nu}}$

esta ecuación puede ser integrada numéricamente si conocemos $P_{W}(V)$, el calor específico C_{V} y la gama de Gruneisen la cual está definida por la relación $V = KC_{V}$

AMALISIS ESTADISTICO

CAPITULO V

En este capítulo se va a hacer un análisis estadistico. Para este análisis disponemos de cuatro conjuntos de datos: dos experimenta les y dos teóricos. Los datos experimentales, son datos para NaCl y se deben a Pérez-Albuerne (6) y a Bridgman (7). Los datos teóricos provienen de la isotérmica 293°K obtenida de la ecuación de esta do de Prieto-Renero (Ec.28 cap.III), en la que se consideró una relación lineal entre las velocidades Ug y Up. Los otros datos teóricos fueron calculados por Fritz. Marsh et al (3) para los cuales se considera una relación cuadrática entre las velocidades — Ug y Up y los datos se obtienen de la integración numérica de una ecuación diferencial (Ec.2 cap. IV).

El primer análisis se realiza sobre el ajuste de la isotérmica - obtenida de la ecuación de Prieto-Renero contra los datos experimentales. Primero se comparan los datos de Prieto-Renero contra - los de Pérez Albuerne, luego los de Prieto-Renero contra los de - Bridgman y por último los de Prieto-Renero contra los de Bridgman y Pérez Albuerne conjuntamente.

En el segundo análisis se comparan los datos teóricos de Fritz et al con los experimentales. Así primero comparamos los de Fritz et al con los de Bridgman y por último los de Fritz et al con los de Bridgman y Pérez Albuerne simultáneamente.

Sunonemos que los datos se distribuyen normalmente alrededor de los valores teóricos esperados. Nos proponemos obtener un valor para la desvia--ción típica (V) correspondiente. Es decir que si p(v) es la curva teórica, deseamos que P(vi) ± JT ses una banda de confianza que incluya:

del total de los resultados experimentales.

Suponiendo que la dispersión es proporcionel al velor de la misma presión tenemos

$$T(v) = \propto P(v) ---- (2)$$

A continuación obtendremos un intervalo de confienza para 🔾 por el método de la distribución de la chi cuadrada. Consideremos la suma

$$\chi^{2} = \underbrace{Z^{2}(P(v_{i})-P_{i})^{2}}_{V_{i}} = \underbrace{I}_{Z^{2}} \underbrace{Z^{2}(P(v_{i})-P_{i})^{2}}_{P^{2}(v_{i})} - - Ca)$$

con distribución chi cuadrada. El valor de la suma para los datos de PéreZ-Albuerne considerando como esperados los de Prieto-Renero es

sea 7, tal que P{12>2,309 7 tal ous P{73>23=0.02 consultando las tablas de chi cuadrada, tenemos

sacando raiz cuadra

la desviación estandard se encuentra entre 25 y 6.6% con una probabilidad de 0.96

Tenemos ahora el cálculo de la chi cuedrada tomando como datos esperados los de Prieto-Renero y como observados los de Bridgman. El valor de la suma es 0.05269.

Sea 7,2 tal que P172>23-0.98y 1/2 tal que P172>23-2-002 consultando las tablas de chi cuadrada, tenemos

se tiene ahora que

tenemos ahora el cálculo de la chi cuadrada, teniendo como datos esperados los de Prieto-Renero y como observados los de Pérez-Abuerne y Bridgman simultaneamente. En este caso el valor de la suma es 0.05970.

Sea Z, tal que P(Z)Z, tal que P(Z)Z, co z

consultando las tebles de chi cuadrada tenemos

 $\chi_1^2 = 7.265$ $\chi_2^2 = 30.995$ y así se establece $P_1^2 = 30.995$ $\sqrt{20.995} = 0.96$ guedando \propto entre

·013/0/20.090

con una probabilidad de 0.96

La desviación estandard se encuentra entre 4.3% y 9% con una probabilidad de 0.96

Ahora se va a realizar el cálculo de la Chi cuadrada, teniendo como datos esperados los de Fritz et al y como observados los de Pérez-Abuerne.

El valor de la suma es 2.0005

Sea X² tel que P[22] A fund | X² tal que P[22] | 23-000

consultando las tables de chi cundrada re tiene

de donde tenemos

de donde e se encuentra entre

0.025 20 20.09/

Luego la desviación estandard se encuentra entre 2.5% y 9.1% con una probabilidad de 0.96

Tenemos ahora el cálculo de la chi cuadrada tensendo como datos esperados los do Fritz et al y como datos observados los de Bridgman.

El valor de la suma es 0.0363

Sea X, tal que P[Z2>Z3-on 16 tal que P672>237-0.02

consultando las tablas de chi cuadrada se tiene

ahora de la suma 7.7=3.059 $Z_2^2=21.165$ TP 43.059 < 0.0368 < 21.161 = 0.96

con una probabilidad de 0.96

Así la desviación estandard se encuentra entre 4.1% y 10.8% con una probabilidad de 0.96

Tenemos ahora el cálculo de chi cuadrada teniendo como datos esperados los de Pritz et al y como datos observados los de Pérez-Auerne y los de Bridgman simultaneamente.

El valor de la suma es 0.0458

Sea X2 tal que P 12523-002

consultando las tablas de chi cuadrada se tiene

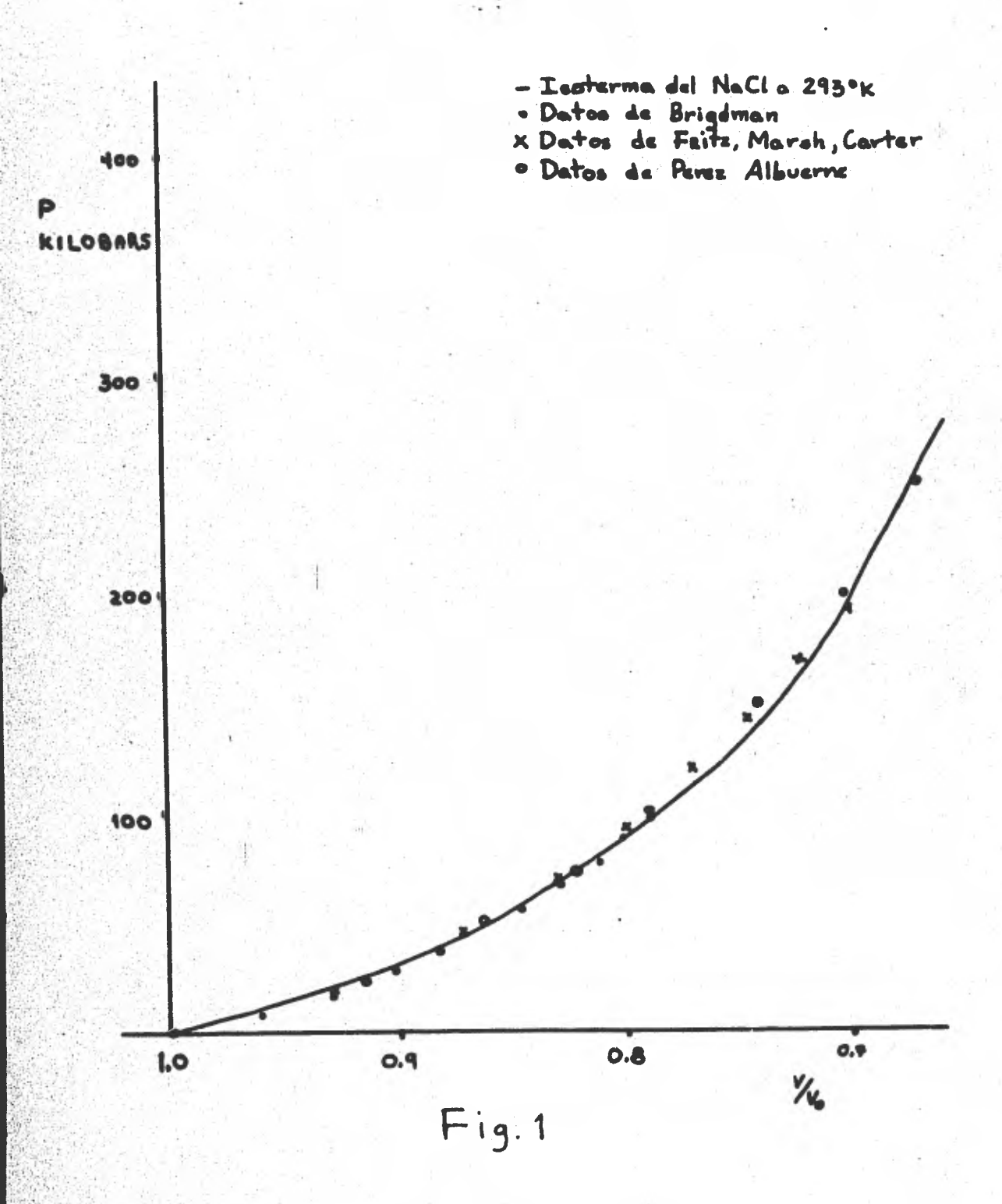
de donde

21=6.614 \ 71=89.623 P (6.614 L 0.6468 \ 29.623]=0.96

asid se encuentre entre 0.039 < \ < 0.083

con una probabilidad de 0.96

Entonces la desviación estandard se encuentra entre 3.9% y 8.3% con una probabilidad de 0.96



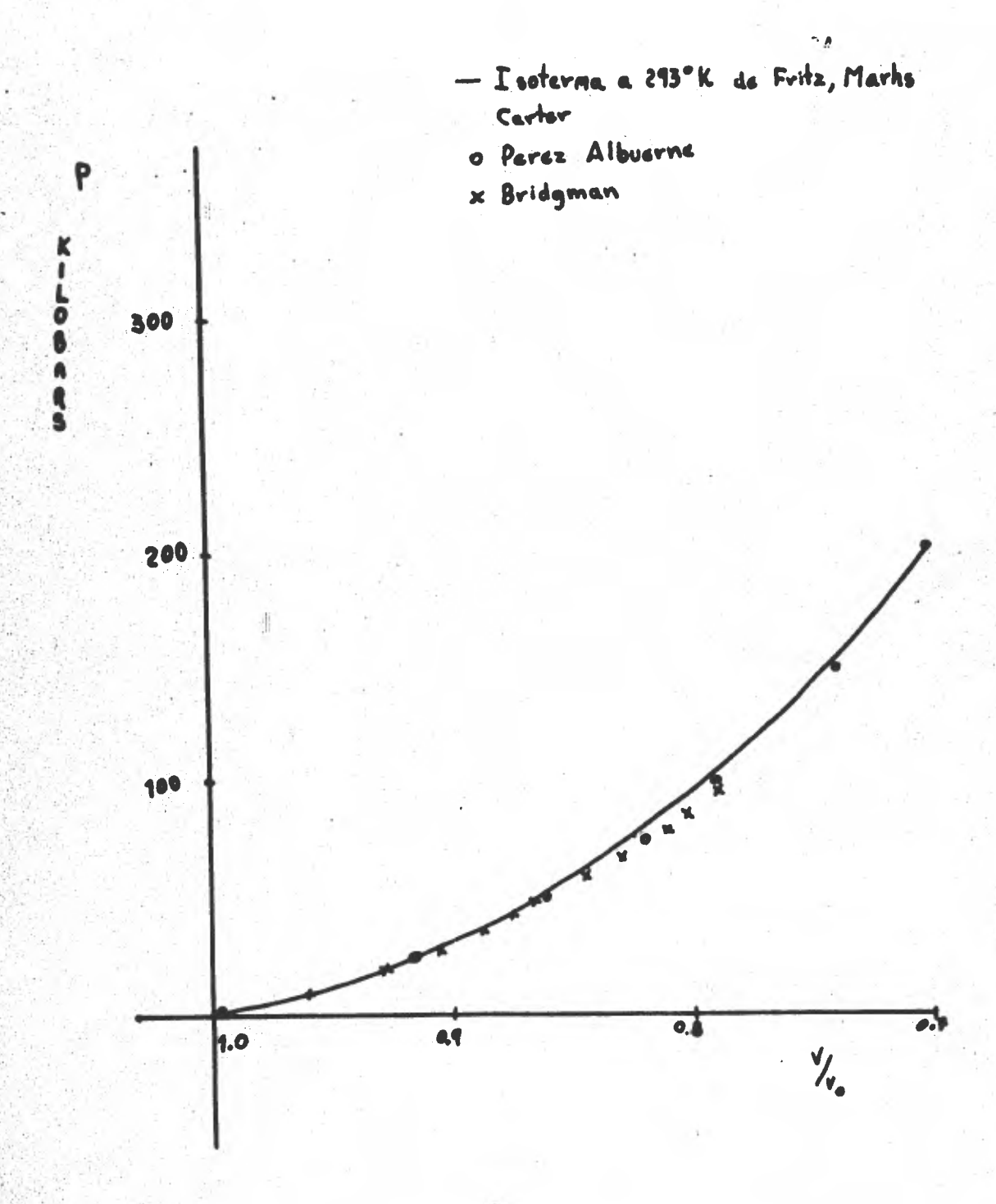


Fig. 2

V/V• R (KILOBARS) 0.9326 20 0.8756 45 0.8325 70 0.7987 96 0.7706 120 0.7461 145 0.7249 170 0.7067 195 0.6885 550

Tabla 1

ISOTERMA NOCI (FRITZ MARSH CARTER)

P (KILOBARS) 1.000 0.918 26 0.864 50 0.023 76 0.792 100 0.742 150 0.702 200 0.670 280

DATOS EXPERIMENTALES DE PEREZ ALBUERNE (NoCI) Tabla 2

P (KILOBARS) . Y / Ve 0.962 9.806 19.612 0.932 0.907 29.418 0.005 30.224 49.030 0.065 50.030 0.848 60.642 0.832 0.817 78.440 0.003 88.254 0.790 98.060

DATOS EXPERIMENTALES DRIDGMAN (NoCI)
Table 3

'V/Vo	P(Kilobers)
0.9254	23.436
0.8880	39.174
0.8507	58.863
0.8133	83.086
0. 7760	112.871
07387	144.530
0.7013	197.408
0.6640	257.341
0.6266	335.409
0.5893	438.306

ISOTERMA DEL NaCl a 293 K con la ecuación de Prieto-Renero
Tabla 4

Valores Esperados	Bridgman	Valores Observados (Kilobars)	
(kilobars)			
12		9.8	
22		19.62	
32		29.41	
40		39.22	
50		49.03	
59		58.83	
68		68.64	
80		78.44	
88		88.25	
98		98.06	
	Fritz, Marsh, Carte	r	
22			
45		20	
68		45	
90		70	
114		95	
136		120	
164		145	
104	• =	170	
	Pérez-Albuerne		
26		. 25	
50		50	
75		75	
96		100	
142		150	
198		500	
256		250	
- C.T.T.		250	

Tabla 5
Datos que se utilizaron para el cálculo de la X cuadrada

Tabla de datos que se utilizaron para el cálculo de chi cuadrada considerando como esperados los de Fritz, Marhs, Carter.

Esperados	Bridgman	Observados
10		9.5
19		19
28		26
38		36
48		
62		46
75		60
86		68
The state of the s		80
94		- 88
104		96
	Pérez-Albuerne	
25		25
54		50
80		76
104		100
150		148
198		200

CONCLUSIONES

11

CONCLUSIONES

En este trabajo se han obtenido expresiones para la conservación de la masa, impetu y energia para materiales sometidos a una onda de choque. Estas ecuaciones de conservación nos han permitido estable cer una ecuación, la Hugoniot para materiales sometidos a una onda de choque y haciendo uso de esta ecuación se ha llegado a una ecua ción de estado (ec. de Prieto Renero) para esos materiales. ecuación de estado se obtuvo considerando una relación lineal entre las velocidades Ug y Ug y los resultados predichos por esta ecua ción de estado para el NaCl han sido comparados con los calculados por Fritz Marsh, Carter quienes consideraron una relación cuadrática entre las velocidedes mencionadas. Así mismo se hizo comparación de unos y otros datos con datos experimentales para el NaCl. De los intervalos obtenidos en el análisis estadístico se puede ver que los datos de Pérez Albuerne se ajustan mejor que los de Bridgman a los valores esperados (fig.l y fig.2 cap.V). Así mismo del análi sis estadistico podemos ver que los intervalos resultantes de la comparación de los datos de Pérez Albuerne y Bridgman contra los esperados de Prieto-Renero y Fritz et al (3) resultan muy parecidos en magnitud, lo cual nos permite establecer la ventaja de la relación lineal sobre la relación cuadrática, ya que esta relación lineal nos permite el uso de una expresión analítica (ec.28 cap.III), en la que los parámetros que aparecen en ella pueden tomar el mismo valor para diferentes materiales, mientras que los valores provenien tes de la consideración cuadrática son obtenidos a partir de la integración numérica de una ecuación diferencial (ec.2 cap.IV).

Le coincidencia en los valores de los intervalos mencionados ante riormente es una buena indicación de la universalidad de la ecuación de Prieto-Fenero.

DIBLIOGRAPIA

REFERENCIAS

- 1.-W.J.M. Rankine. Trans Royal Society (London) 160,277 (1870)
- 2.-H. Hugoniot. Journal de L'ecole Polytechnique 58,1 (1884)
- 3.-J.N.Fritz, S.P. Marsh, W.J. Carter, R.G. McQueen. The Hugoniot Equation of State of Sodium Chloride in the Sodium Chloride Structure. University of California. Los Alamos Scientific Laboratory.
- 4.-F.E. Prieto.-A Law of Corresponding States For Materials at Shock Pressures.-J. Phys. Chem. Solids. 1974 Vol35, pp279-286
- 5.-F.E. Prieto and C.Renero.-The Equation of State of Solids.-J.Phys. Chem.Solids,1976, Vol 37, pp.151-160 .
- 6.-E.A. Perez-Albuerne and H.G. Drickamer. Effect of High Pressures on the Compressibilities of Seven Crystals Having the NaCl or CsCl Structure. The Journal of Chemical Physics. Vol. 43 Number 4 (1965).
- 7.-P.W.Bridgman.-The Compression of Twenty-One Halogen Compounds and Eleven Other Simple Substance to 100,000Kg/cm.Proceeding American Academy of Arts and Science.76,1 (1945).
- 8.-Paul G. Hoel.-Introducción a la Estadística Matemática.pp240-257.-